

Considerazioni dimensionali  
e di scala sulle  
Teorie alternative delle  
gravi. Teorie

C. Rubano

Napoli 31 gennaio 2008

(1)

1) metrica

$$ds^2 = g_{\mu\nu} dx^\mu dx^\nu$$

$g_{\mu\nu} \rightarrow$  adimensionale

$x^\mu \rightarrow$  lunghezza

2) curvatura scalare

$$R = R_\mu{}^\mu \rightarrow \ell^{-2}$$

3) Azione di Einstein - Hilbert

$$S = \int \left( \frac{c^3 R}{16\pi G} - \frac{2c^3 \Lambda}{16\pi G} + \frac{\mathcal{L}_m}{c} \right) \sqrt{-g} d^4x$$

$$G \rightarrow \ell^3 m^{-1} t^{-2}$$

$$\Lambda \rightarrow \ell^{-2}$$

$$\mathcal{L}_m \rightarrow$$
 densità di energia  $e^{-1} m t^{-3}$

$$S \rightarrow$$
 azione  $e^2 m t^{-1}$

4) Equazioni di Einstein

$$G_{\mu\nu} + g_{\mu\nu} \Lambda = \frac{8\pi G}{c^4} T_{\mu\nu}$$

$$T_{\mu\nu} \rightarrow \ell^{-1} m t^{-2}$$

(2)

Osservazioni astronomiche, test sperimentali, sistemi GPS ecc.

Due situazioni in cui RG è ottimamente verificabile

1) Sistemi sdrai e Pulsar binarie  
 $\varepsilon = 10^9 - 10^{12} \text{ m}$

2) Nucleosintesi

$T = 10^3 \div 10^8 \text{ Kelvin}$

$$3H_N^2 = \frac{8\pi G}{c^2} \rho_N + 1 - \underbrace{\frac{K}{a^2}}_{\text{tensione di斥}}$$

$$3H^2 = \frac{8\pi G}{c^2} \frac{4}{e} \sigma T^4$$

$\sigma = \text{Stefan Boltzmann}$

quindi raggi di classe alle nucleosintesi

$$\varepsilon_N \sim \frac{c}{m} = \sqrt{\frac{3c^5}{32\pi G T^4}}$$

$$\varepsilon_N = 10'' \text{ m}$$

Cose possiamo dire di R?

(3)

Cose possiamo dire di  $R$ ?

1) Nucleosintesi

$$R = - \frac{6}{c^2} (2H^2 + H) \quad \text{metrice FRW}$$

epoca dominante delle reazioni

$$a \propto t^{1/2} \quad \text{si ottiene} \quad R = 0$$

2) Sistema Solare e P.B.

metrice di Schwarzs.

$$ds^2 = \left(1 - \frac{2GM}{c^2 r}\right) dt^2 - \left(1 - \frac{2GM}{c^2 r}\right)^{-1} dr^2$$

$$\text{si ottiene} \quad R = 0$$

Gli unici due casi in cui  $R$  è ben verificata  
compiono alle stesse scale di distanze -

Inoltre il valore di  $R$  è nullo (o quasi...)

Aumentiamo le scale

(4)

## Scate di galassie e cluster

$$z = 10 - 100 \text{ Kpc} = \frac{10^{19} M_{\odot} \text{ galassie}}{10^{21} \div 10^{22} M_{\odot} \text{ clusters}}$$

Problema delle velocità periferiche  
 ↓

Materie oscure

La materia oscura è necessaria anche per le formazioni di struttura

$$\ddot{\delta} + 2H\dot{\delta} - 4\pi G\rho_B \delta = 0$$

dopo il decoupling  $a \propto t^{2/3}$   $\rho_B \propto a^{-3}$

soluzione  $\delta \propto t^{2/3}$  al decoupling  $T \approx 10^{-5}$

quindi "non c'è tempo" per le formazioni di struttura.  $\frac{a_{dec}}{a_0} \approx 10^{-3}$

Le materie oscuri, disegnappielle della redigione, eudre in ogni una prima

epoca dopo equivalente fino al decoupling

$$T \approx 6 \cdot 10^4 \div 3 \cdot 10^5 \text{ K} \quad z \approx 10^{18} \div 10^{22} !$$

(4b)

Possiamo vedere  $R$ ?

### 1) Cosmologia

In termini di redshift si ha

$$R = -\frac{3H_0^2}{c^2} (4 + (z^3 + 3z^2 + 3z - 3) R_{0m})$$

All'equivalenza  $z \approx 10^5$  al decoupling  $z \approx 10^3$

$$\text{quindi } R \approx -\frac{3H_0^2}{c^2} z^3 R_{0m} \sim -\frac{z^3}{z_{H_0}^2}$$

se consideriamo

$$z_{H_0} = 13 \text{ milioni anni/luce}$$

$$R \approx 10^{-37} \div 10^{-31} \text{ m}^{-2}$$

### 2) Galassie e cluster

difficile stimare - lavori in corso

Aumentiamo ancora le scale  
neste solo la cosmologia

$$z \approx 100 \text{ Mpc} \div \text{Hubble radius} \rightarrow 10^{29} \div 10^{25} \text{ m.}$$

Bisogna considerare la costante cosmologica  
che dà effetto (corpo scuro)

(5)

Variabile  $R$

$$R_0 \approx -\frac{8H_0^2}{c^2} \sim 10^{-51} \text{ m}^{-2} \quad \text{Roma} \approx \frac{1}{3}$$

N.B. si ha  $\Lambda \approx \frac{H_0^2}{c^2}$  quindi  $\Lambda \approx R_0$

questo è il motivo per cui  $\Lambda$  è importante e punte secca

Ora possiamo e faccio secca

Inflessione

In questo periodo  $H$  è circa costante

possiamo fare una stima del numero  
di  $e$ -folding

$$N \approx 60 \approx H_{\text{inf}} \Delta t$$

$$H_{\text{inf}} \approx 60 \cdot 10^{34} \approx 10^{35} \text{ s}^{-1}$$

$$\text{quindi } \xi_{\text{inf}} = \frac{c}{H} \sim 10^{-27} \text{ m}$$

essendo  $H \approx 0$  abbiamo

$$R = -12 \frac{H_{\text{inf}}^2}{c^2} \approx 10^{55} \text{ m}^{-2}$$

(6)

## Scate di Planck

$$\varepsilon \sim \ell_p \sim 10^{-35} \text{ m}$$

$$R \sim \varepsilon^{-2} \sim 10^{+70} \text{ m}^{-2}$$

Conclusioni per le prime

Abbiamo applicato R6 ad un range di scate che varia di 60 ordini di grandezza, usando un principio variazionale basato su R che varia di 120 ordini di grandezza -

Tutto questo basandosi su dati certi solo su un range di scate di 4-5 ordini e con valori di R molto piccoli  
 Nessuna eccezione che trovi uno qualsiasi che non va!

(7)

Proviamo ad introdurre una modifica

$$S = \int Fg \left( f(R) + \frac{\mathcal{L}_M}{e} \right) d^4x$$

così non ve ne le dimensioni non  
tunano. Introduciamo una legge  
"universale"  $\lambda$ .

Come lo scegliamo? discussione

poniamo quindi  $R = \lambda^2 R'$

$$\mathcal{L}_M = \frac{\lambda^4}{c t} \mathcal{L}_M' ; \quad x^\mu = \lambda^2 \xi^\mu$$

obtieno

$$S = t \int Fg \left( f(R) + \mathcal{L}_M \right) d^4 \xi$$

ore nell'integrale tutto è edimensionale  
e sembra utile introdurre  $t$  per dare  
le dimensioni di una azione

(P)

$$S = \frac{1}{\hbar} \int F g(f(R) + \lambda u) d^4 \xi$$

osservazione:

Inglobiamo in  $f(R)$  sia le costante di accoppiamento con le materie che l'energia (entropia) del vuoto.

In  $f(R)$  saremo quindi contenuti dei parametri (adimensionali). A cause di queste posizioni, non è detto che questi parametri siano  $\sim 1$ , come sarebbe lecito aspettarsi da una teoria fondamentale. Anche le scelte di  $\lambda$  risultano critiche in tal senso.

Cose possono dire di  $f(R)$ ?

Supponiamo di occuparci di un campo di gravità in cui  $R$  non viene molto (e non sempre ciò' accade). Allora posso scrivere  $f(R)$  intorno ad un valore  $\tilde{R}$  ottenendo

$$f(R) = \alpha(\tilde{R})R + \beta(\tilde{R})$$

riservando l'oggi ripristinando le quantità dimensionali.

$$S = \int \left( \alpha + \lambda^{-2} R + \frac{\alpha \beta}{\lambda^4} + \frac{\Lambda m}{c} \right) \sqrt{-g} d^4x$$

confrontiamo con Einstein. Hilb.

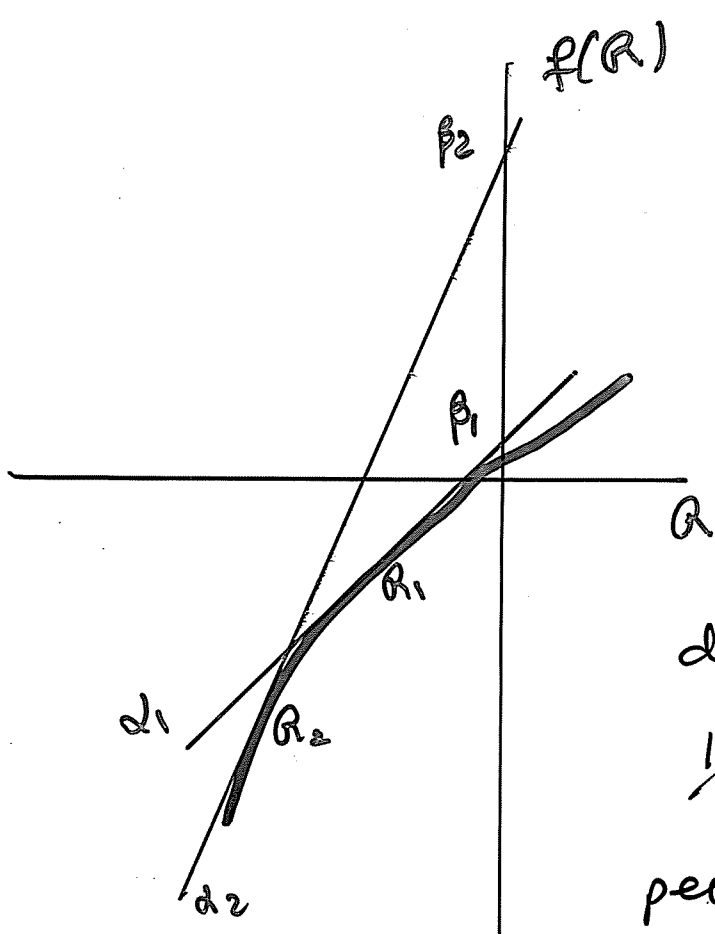
$$S_{EH} = \int \left( \frac{c^3 R}{16 \pi G} - \frac{2 c^3 \Lambda}{16 \pi G} + \frac{\Lambda m}{c} \right) \sqrt{-g} d^4x$$

otteniamo

$$G_{eff} = \frac{c^3 \Lambda^2}{\alpha \lambda^2 / 16 \pi}$$

$$\Lambda_{eff} = \frac{\beta}{\alpha \lambda^2}$$

quindi viene emulata la RG standard ma con  $\beta$  e  $\Lambda$  diversi



vediamo che  
 $f(R)$  è approssimata  
dalle tangenti in  
 $\tilde{R}$ . La pendenza  
delle rette ci fornisce  
 $\lambda_{eff}$  quindi forte  
pendenza  $\rightarrow \lambda_{eff}$  piccole

l'intersezione è invece legata a  $\lambda_{eff}$

~~Osserviamo~~  $\beta \propto \lambda_{eff} \propto \frac{\lambda_{eff}}{\alpha_{eff}}$

In figure abbiamo p.esempio

$|R_2|, \alpha_2, \beta_2$  grandi  $\rightarrow \lambda_{eff}$  piccole

$\lambda_{eff} \rightarrow ?$  possibilmente grande  
possibile inflessione

$|R_1|, \alpha_1, \beta_1$  piccoli  $\rightarrow \lambda_{eff}$  "grande"

$\lambda_{eff} \rightarrow ?$  possibilmente piccole

Fine dell'inflessione

Ma ci sono dei problemi!

Consideriamo la metrica statica e simmetrica sferica

$$ds^2 = c^2 B(r) dt^2 - A(r) dr^2$$

ancora una volta non troviamo le dimensioni

dobbiamo introdurre una distanza riscalata  
 $\tilde{r} = \frac{r}{c}$

$$e = \frac{\partial \tilde{r}}{\partial r} \cdot \text{Dove prendiamo } \tilde{r} \neq ?$$

in RG classica dobbiamo usare  $G, M, c$

quindi  $\tilde{r} \neq$  non puo' che essere il raggio

$$\text{di schw. } \tilde{r}_* = \tilde{r}_S = \frac{2GM}{c^2}$$

~~Nel~~ Poiche' nei casi standard  $\tilde{r}_S < R$ , quindi possiamo sviluppare e studiare i procedimenti PPN

Se introduciamo  $f(R)$ , & perde significato.

Inoltre abbiamo  $\lambda \neq 0$

(12)

Quindi non sappiamo bene come relazionare i parametri PPN

Se  $G$  perde significato non abbiamo più le unità di Planck

$$m_p = \sqrt{\frac{\hbar c}{G}} = 10^{18} \text{ GeV}$$

$$l_p = \sqrt{\frac{\hbar G}{c^3}} = 10^{-35} \text{ m}$$

$$t_p = \sqrt{\frac{\hbar G}{c^3}} \approx 10^{-43} \text{ s}$$

andremo sostituire con

$$\lambda = ? \quad t_\lambda = \frac{\lambda}{c} = ?$$

$$m_\lambda = \frac{\hbar}{e\lambda} = ?$$

quindi, finché non specifichiamo  $\lambda$ , non sappiamo più e quale scala introdurre la quantum gravity

Last but not least....

torriemo alla metrica sferica

$$ds^2 = c^2 B(r/r_*) - A(r/r_*) dr^2$$

in RG applichiamo le eq. di Einstein nel vuoto

a queste metrica e imponiamo che tenda assimilicamente a Minkowski;

si ottiene  $A = 1/B$  una equazione del II ordine (ordinarie) per B con due costanti di integrazione: una è fissata dalle condiz. di esistenza, la seconda è erid. il rapporto di schr. per ottenere Newton su coupi deboli. Se usiamo  $f(R)$  le equazioni sono del IV ordine.

di nuovo  $A = 1/B$  e vale Minkowski al  $\infty$   
ne restano 3

Per un corpo puntiforme, come introdurre altre quanitati intrinseche diverse delle messe?

Si puo' obiettare che le equazioni da risolvere non sono quelle nel vuoto, per cui introducendo il tensore energie impulso di un corpo puntiforme

$$T_{\mu\nu} = \delta^\rho_\mu \delta^\rho_\nu M \delta^3(x)$$

tutte e 3 le costanti risultano legate alle messe.

Ma queste forme di  $T_{\mu\nu}$  presuppongono appunto che solo le messe di un corpo (mentre) si eccoppi con le gravitati.

Il ragionamento si morderebbe

## Conclusioni:

- 1) Semplici considerazioni di scalo, insieme con i dati osservativi, possono e riteneva plausibile le necessità di modificare RG
- 2) le teorie  $f(R)$  sembrano molto promettenti ma:
  - a) richiedono l'introduzione di una legge universale  $\lambda$  che non sappiamo determinare
  - b) come conseguenza, non sappiamo più e quale scalo introduce le grav. tra quantit. st. e
  - c) le discussioni delle metriche sfavore si fa molto più complesse